

Trabalho Computacional - Caso 7  
Transporte de Calor e Massa  
Resolução da Equação do Calor Transiente 2D utilizando Método das  
Diferenças Finitas

Marcos Eduardo Monteiro Junqueira

`memj401@hotmail.com`

18/0023691

16 de Outubro, 2020

## 1 Introdução

No estudo dos processo de troca de calor, o primeiro modelo a ser estudo é o da condução. No entanto, ainda que mais simples que os outros, este modelo ainda apresenta um alto grau de complexidade matemática, tornando quase que obrigatório a utilização de hipóteses simplificativas para o seu estudo.

Para o estudo da condução, a principal equação que rege todo o processo é dada na forma da Equação do Calor, explicitada abaixo:

$$\frac{\partial T}{\partial t} \rho C_p = k \nabla^2 T + \dot{q} \quad (1)$$

Em que  $k, C_p$  e  $\dot{q}$  representam, respectivamente, a Condutividade Térmica, o Calor Específico e a Geração Interna do corpo estudo. A partir de uma observação cuidadosa da equação acima, é possível perceber que o processo da condução de calor apresenta um dependência espacial e temporal, fato que torna a solução dessa equação em sua totalidade extremamente complexa e altamente custosa.

Em função disso, são utilizadas restrições e simplificações a fim de diminuir sua complexidade. A simplificação mais comum é a análise da equação em regime permanente e 1D, conhecida como Lei de Fourier, e possível resolvê-la por métodos com o das resistências térmicas. Outra simplificação bastante comum é o regime transiente sem variações de temperatura espacial, em que é utilizado o método da Capacitância Concentrada.

No entanto, o uso dessas simplificações restringe as suas aplicações e para muitos casos é insuficiente. Em função disso, foram desenvolvidos métodos numéricos aplicados juntamente com a computação a fim de modelar, em razoável precisão e tempo, condições de calor mais sofisticadas e próximas da realidade. No caso deste trabalho, foi realizado um estudo valendo-se do Método das Diferenças Finitas.

### 1.1 Método das Diferenças Finitas

O Método das Diferenças Finitas é um artifício numérico com o objetivo de facilitar o cálculo da Equação do Calor em regime transiente, considerando variações espaciais.

Neste método, realiza-se a discretização da Equação do Calor por meio de Séries de Taylor. Utilizando algumas simplificações e realizando o truncamento da série obtida, chega-se a seguinte expressão, que define a temperatura no instante seguinte  $p + 1$  de um ponto arbitrário  $T_{m,n}$  :

$$T_{m,n}^{p+1} = F_o(T_{m+1,n}^p + T_{m-1,n}^p + T_{m,n+1}^p + T_{m,n-1}^p) + (1 - 4F_o)T_{m,n}^p + \frac{\dot{q}\Delta^2}{k} \quad (2)$$

Em que  $F_o$  é o número Fourier, definido por  $F_o = \frac{\alpha \Delta t}{\Delta x^2}$ , onde  $\alpha$  é a difusividade térmica do material. É de suma importância destacar que  $F_o$  está intimamente ligado á estabilidade da simulação e por isso, devem ser escolhidas as variações espaciais e temporais ( $\Delta x$  e  $\Delta t$ ) com cautela.

## 2 Procedimento Computacional

### 2.1 Metodologia Aplicada ao Código

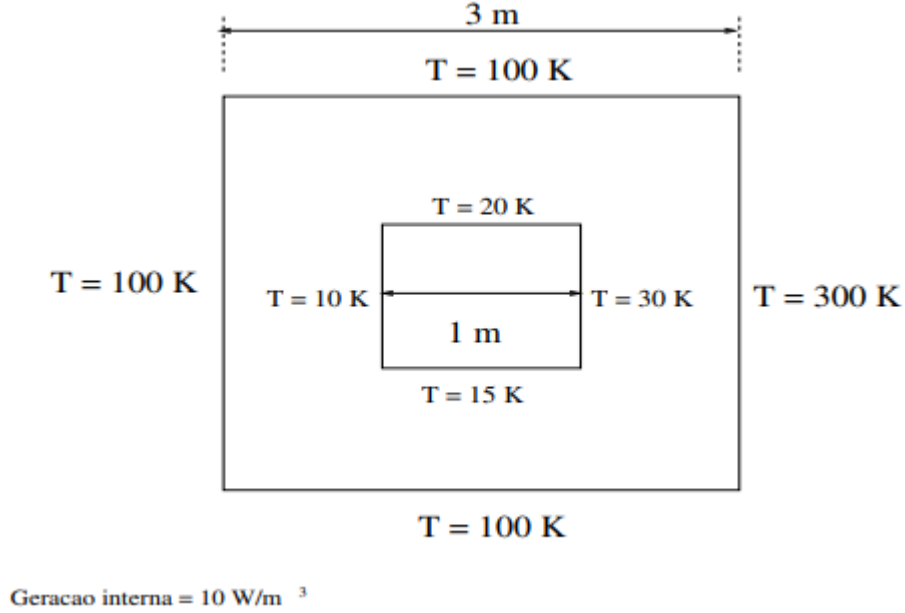


Figura 1 – Caso Teste Estudado

A implementação do trabalho em sua integridade foi realizada por meio da linguagem de programação *Python*<sup>1</sup> em função da sua legibilidade, facilidade de implementação e ubiquidade dentro da computação, permitindo que o código possa ser expandido e trabalho em cenários futuros, caso necessário. Para implementação foram criados dois arquivos: *tcm\_trab.py*, responsável por definir as funcionalidades e métodos necessários para o trabalho, e *main.py*, ambiente em que o código fosse efetivamente utilizado. Essa divisão tem como objetivo separar as áreas de definição de funcionalidades e teste a fim de garantir uma melhor modularização do código.

No primeiro arquivo citado, *tcm\_trab.py*, foram definidas 5 funções: *diferencas\_finitas*; *animar*; *gerar\_midias*; *custo\_operacional* e *obter\_perfis*, que serão explicadas a seguir. A função *diferencas\_finitas* é onde ocorre a implementação propriamente dita do Método das Diferenças Finitas. Para o cálculo da malha foi-se estipulado  $F_o = 0,25$ , pois este valor demonstrou ser o melhor no quesito de estabilidade da simulação. Outro valor estipulado foi o  $k = 81$  W/mK, valor este representado o material aço, já o restante dos valores foram definidos de acordo com as condições dadas. A função então desenha uma malha  $N \times N$  em forma de matriz, para um dado valor  $N$ , com todas as temperaturas de acordo com a condição de contorno explicitada na figura 1, ressaltando que as temperaturas no interior da figura são  $T = 0$  K. A partir disso, a matriz é atualizada iterativamente segundo a Eq.2 até atingir a condição de parada estipulada, em que a diferença entre o instante atual e o anterior seja inferior à 0.00001%, e retornando o número de iterações realizadas; a malha no seu estado final; o tempo consumido e um vetor com todos os instantes da malha.

Já a função *gerar\_midias* tem o papel de gerar o vídeo da simulação conjuntamente com uma imagem da malha em seu estado final. Nela é utilizado o número de iterações e o vetor de todos os instantes da

<sup>1</sup> Observação: O código em sua integridade estará localizado na seção 4.

malha realizadas pela *diferencas\_finitas* a fim de montar o vídeo. Primeiramente é montada a figura do último instante calculado na malha, que servirá de molde para todo o vídeo, em seguida a função *animar* será chamada para desenhar o respectivo frame do vídeo, baseado no vetor dos instantes. Esse processo será chamado recursivamente um número de vezes igual ao número de iterações, definido acima. Por fim, o vídeo criado é salvo<sup>2</sup> e a imagem utilizada é mostrada na tela.

Para a função *custo\_operacional*, um conjunto de valores nós N é dado e então a função *diferencas\_finitas* é chamada para cada um deles. Em seguida os tempos de execução são armazenados e plotados em um gráfico, o qual é salvo ao final da execução.

Por fim, a função *obter\_perfis* tem como objetivo criar os cinco perfis de temperatura para valores de x e y estipulados, a fim de observar a maior variedade de comportamentos dentro da malha. Para cada um dos valores de x ou y estipulados, a função cria e extrai a respectiva coluna ou linha da malha em estado permanente obtida do método *diferencas\_finitas*. A partir disso, os respectivos gráficos são então plotados e salvos.

## 2.2 Análise dos Resultados Simulados

### 2.2.1 Custo Operacional por Número de Nós

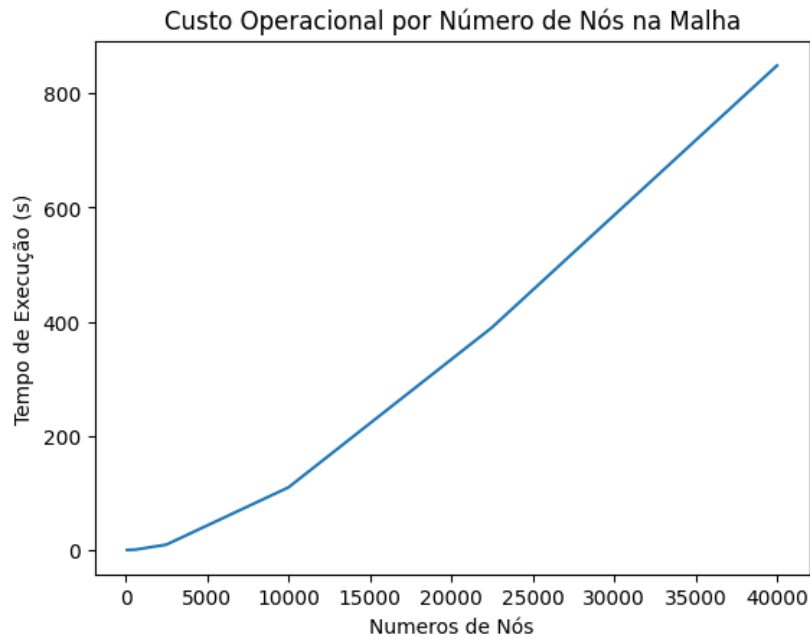
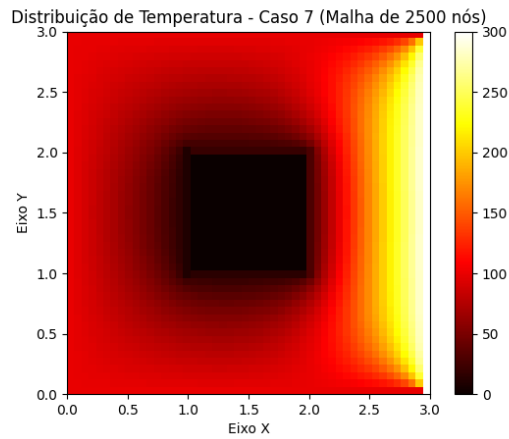


Figura 2 – Custo Operacional (s) por Número de Nós

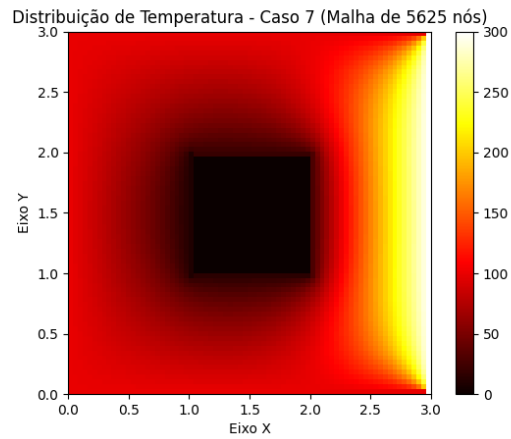
O gráfico acima foi gerado a partir da análise do utilizado nas simulações para malhas de 100, 625, 2500, 10000 e 40000 nós. A partir deste gráfico é possível observar a eficiência do método utilizado, que cresce linearmente com o número nós da malha. Disso pode-se observar que para pequenos valores de nós, o método é extremamente eficiente porém para grandes malhas o gasto em tempo de processamento será elevado e poderá ser necessária a utilização de um método mais eficiente.

<sup>2</sup> Observação: O vídeo gerado foi acelerado com a utilização de softwares externos a fim de se encaixar nos padrões estipulados pelo trabalho.

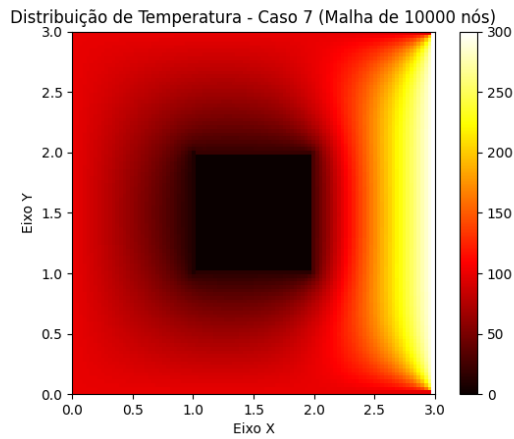
## 2.2.2 Simulação para Diferentes Malhas



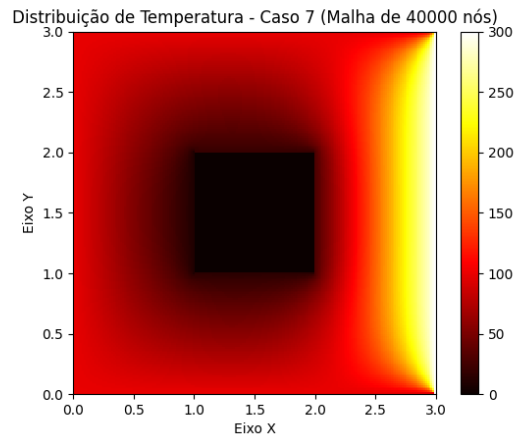
(a) Malha de 50X50 Nós



(b) Malha de 75X75 Nós



(c) Malha de 100X100 Nós



(d) Malha de 200X200 Nós

Figura 3 – Simulação do Caso para Diferentes Nós na Malha

A figura acima apresenta a simulação do caso estudado para diferentes tamanhos de malha. Como esperado, malhas maiores apresentam uma qualidade superior e um gradiente de temperatura muito mais suave em relação a malhas menores. No entanto, como visto na subseção acima o custo operacional cresce de acordo com o tamanho da malha, então dependendo da aplicação ou contexto inserido, é necessário se ponderar acerca do balanço tempo-qualidade.

### 2.2.3 Perfis de Temperatura

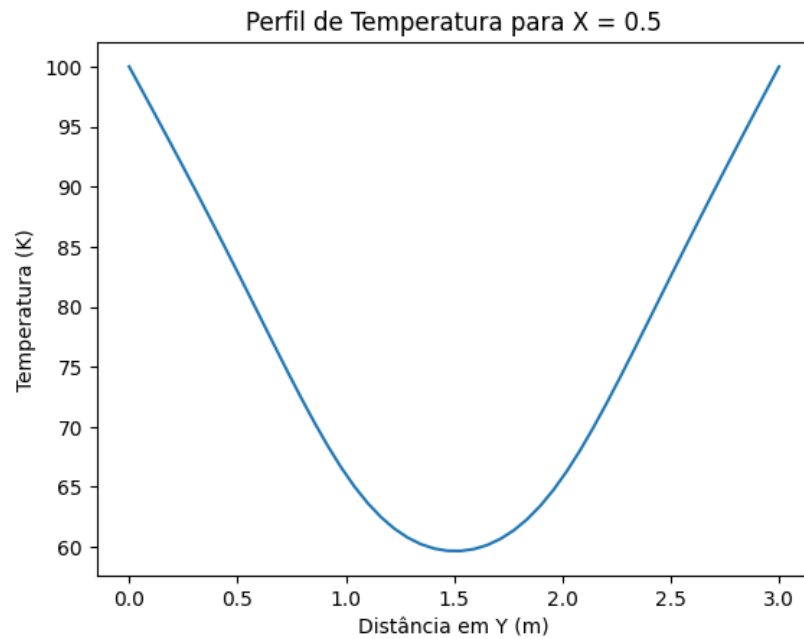


Figura 4 – Perfil de Temperatura para  $X = 0,5$  m

O primeiro perfil de temperatura, mostrado acima, representa a variação da temperatura ao longo do eixo  $y$  para  $x = 0,5$  m e começando na temperatura do fundo  $T = 100$  K. Nele é possível perceber um decaimento da temperatura ao se aproximar do buraco, entre  $y = 1$  m e  $y = 2$  m. Esse decaimento se dá em função da condição de contorno das extremidades do buraco, que se mantém em temperatura constante. Esse fato força que as temperaturas nessa região sejam menores que do resto do corpo, demonstrado pelo subsequente aumento da temperatura ao sair da área de influência da extremidade do buraco, retornando a temperatura do topo de  $T = 100$  K. O segundo perfil, explicitado acima, representa a variação da temperatura ao longo

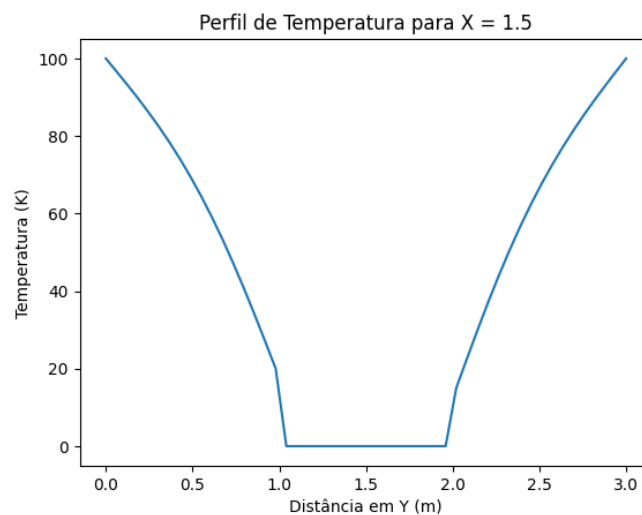


Figura 5 – Perfil de Temperatura para  $X = 1,5$  m

do eixo  $y$  para  $x = 1,5$  m e começando na temperatura do fundo  $T = 100$  K. Nele, é possível perceber um comportamento similar ao perfil anterior, porém com uma abrupta mudança de temperatura entre  $y = 1$  m e  $y = 2$  m. Isso se dá pelo fato de que em  $x = 1,5$  m a análise intercepta o interior do buraco, de temperatura constante e  $T = 0$  K. Pelo fato dessa temperatura ser arbitrariamente definida, ela não pertence a distribuição padrão da temperatura no corpo e causa essa queda abrupta no gráfico. O terceiro perfil, mostrado acima,

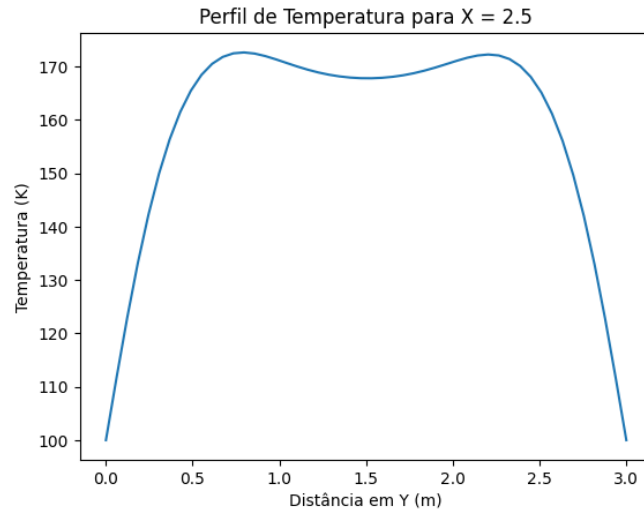


Figura 6 – Perfil de Temperatura para X = 2,5 m

representa a variação da temperatura ao longo do eixo  $y$  para  $x = 2,5$  m e começando na temperatura do fundo  $T = 100$  K. Nele, há uma influência muito maior da temperatura da borda do corpo, de valor  $T = 300$  K. Em função disso é possível perceber um comportamento oposto ao do primeiro perfil, com um aumento da temperatura até um ponto de máximo e depois seu decréscimo até ao valor do topo, de  $T = 100$  K. Além disso é possível perceber um pequeno decaimento da temperatura em  $y = 1,5$  em função da influência da borda do buraco que tem  $T = 30$  K e força que temperatura nesses pontos se tornem menores. Inclusive, esse comportamento é perceptível no esquema de cores da simulações da Fig.3.

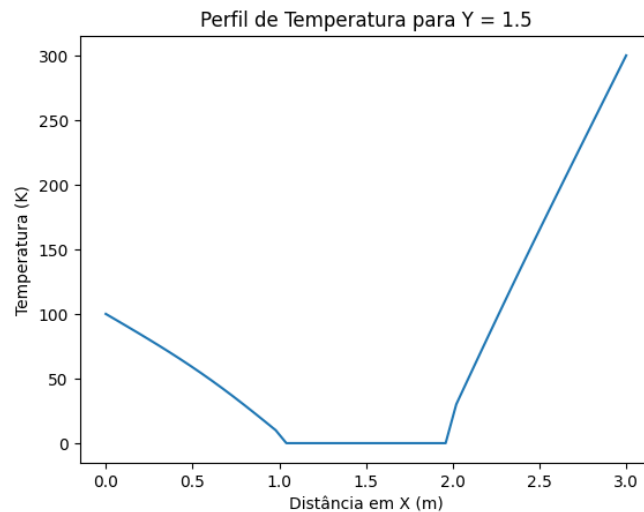


Figura 7 – Perfil de Temperatura para Y = 1,5 m

O quarto perfil, mostrado acima, representa a variação da temperatura ao longo do eixo  $x$  para  $y = 1,5$  m e começando na temperatura da esquerda  $T = 100$  K. Nele é possível notar a diminuição da temperatura, em função do contorno do buraco que está em temperatura constante e menor que a do resto do corpo. Após isso há uma abrupta queda para  $T = 0$  K, que se mantém até  $x = 2,0$  m. Isso ocorre em função do interior do buraco se manter a temperatura constante e não trocar calor com o corpo. Em seguida, há um aumento da temperatura que se mantém até chegar a temperatura da outra extremidade, de valor  $T = 300$  K.

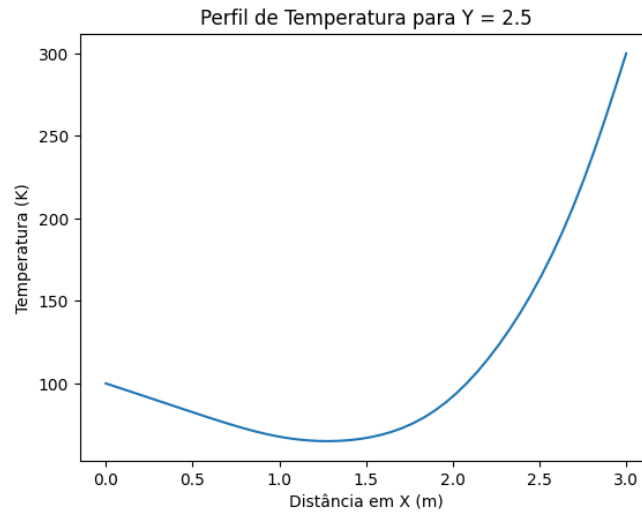


Figura 8 – Perfil de Temperatura para Y = 2,5 m

Por último, o quinto perfil, explicitado acima, representa a variação da temperatura ao longo do eixo  $x$  para  $y = 2,5$  m e começando na temperatura da esquerda  $T = 100$  K. Para este valor de  $y$ , pode-se perceber sua continuidade por toda a extensão do intervalo, sem aumentos ou quedas abruptas de temperatura. Isso se dá pelo fato de não haver contato direto com o buraco ou suas extremidades, responsável por causar as variações abruptas da temperatura. No entanto, ainda é possível perceber sua influência na distribuição de temperatura de todo corpo, caracterizado pelo decréscimo da temperatura até  $x = 1,5$  m. Após este intervalo, a influência da borda direita de  $T = 300$  K torna-se predominante na distribuição de temperaturas, evidenciado pelo grande aumento de temperatura até a temperatura da própria borda direita.

### 3 Conclusão

A partir da aplicação do Método das Diferenças Finitas, foi possível realizar um estudo da condução do calor dentro de um corpo ao longo do espaço e do tempo. Neste estudo foi possível analisar o impacto das condições de contorno na distribuição geral das temperaturas ao longo do espaço, por meio dos perfis de temperatura. Já o vídeo gerado serviu como ferramenta para se obter compreensão do processo de condução ao longo do tempo.

Outro aspecto analisado foi o próprio Método das Diferenças Finitas, por meio de análise de qualidade para o número de nós nas malhas e seu custo computacional. Disso, foi possível concluir que a qualidade da simulação está diretamente ligada ao número de nós utilizados, porém seu custo computacional de tempo cresce linearmente com o tamanho da malha. Por isso, é sempre necessário ponderar e selecionar o melhor valor de nós a fim de obter resultados em qualidade de simulação e tempo de execução dentro do razoável do contexto empregado.



## 4 Código-Fonte

### 4.1 tcm\_trab.py

---

```
import numpy as np
import time
import math
import copy
import matplotlib.pyplot as plt
import matplotlib.animation as animation

n_Fourier = 0.25 #Número de Fourier definido a fim de manter a estabilidade da simulação

geracao_interna = 10 #Valor estipulado no trabalho

k = 81 #condutividade termica do aço

tamanho = 3 #comprimento do objeto simulado, em metros

#Função utilizada para desenhar o i-ésimo frame da animação
def animar(i,animacao):
    quadro = plt.imshow(animacao[i], cmap='hot', interpolation='nearest',
        extent=[0,tamanho,0,tamanho])
    return quadro

#Função que realiza o método das diferenças finitas
def diferencas_finitas(numero_nos):
    inicio = time.process_time()

    delta_x = tamanho/(numero_nos)
    x_gap = math.floor(numero_nos/3) #Coordenada X da matriz da malha onde se encontra o gap no
        caso 7
    y_gap = math.floor(numero_nos/3) #Coordenada Y da matriz da malha onde se encontra o gap no
        caso 7
    intervalo_gap_x = round(numero_nos/3) #Intervalo de Coordenadas em X no qual se encontra o gap
        do caso 7
    intervalo_gap_y = round(numero_nos/3) #Intervalo de Coordenadas em X no qual se encontra o gap
        do caso 7

    matriz = np.zeros([numero_nos,numero_nos], dtype = float)

    matriz[0, 1:numero_nos] = 100 #Condição de Contorno do Topo
    matriz[numero_nos - 1, 1:numero_nos] = 100 #Condição de Contorno do Fundo
    matriz[:,numero_nos, 0] = 100 #Condição de Contorno da Esquerda
    matriz[:,numero_nos, numero_nos - 1] = 300 #Condição de Contorno da Direita
```

```

matriz[y_gap, x_gap : (x_gap + intervalo_gap_x)] = 20 #Condição de Contorno do Topo do Gap
matriz[y_gap + intervalo_gap_y, x_gap : (x_gap + intervalo_gap_x)] = 15 #Condição de Contorno do
    Fundo do Gap
matriz[y_gap : (y_gap + intervalo_gap_y + 1), x_gap] = 10 #Condição de Contorno da Esquerda do
    Gap
matriz[y_gap : (y_gap + intervalo_gap_y + 1), (x_gap + intervalo_gap_x)] = 30 #Condição de
    Contorno da Direita do Gap
matriz[y_gap + 1 : (y_gap + intervalo_gap_y), x_gap + 1 : (x_gap + intervalo_gap_x)] = 0
    #Condição de Contorno do interior do Gap

matriz_atual = copy.deepcopy(matriz)
matriz_anterior = copy.deepcopy(matriz)
parada = False
quadros = 0
animacao = []

while parada != True:
    quadros += 1
    animacao.append(copy.deepcopy(matriz_atual))
    if(quadros%100 == 0):
        print(quadros)
    for x in range(numero_nos):
        for y in range(numero_nos):
            if (x == 0 or y == 0) or (x == (numero_nos - 1) or y == (numero_nos - 1)):
                continue
            elif (x >= x_gap and x <= (x_gap + intervalo_gap_x)) and (y >= y_gap and y <= (y_gap +
                intervalo_gap_y)):
                continue
            matriz_anterior[y,x] = copy.deepcopy(matriz_atual[y,x])
            matriz_atual[y,x] = n_Fourier*(matriz_atual[y,x+1] + matriz_atual[y,x-1] +
                matriz_atual[y+1,x] + matriz_atual[y-1,x])
            + (1 - 4*n_Fourier)*matriz_atual[y,x]
            + (geracao_interna*(delta_x**2)/k)

            if ((abs(matriz_atual[y,x] - matriz_anterior[y,x])/matriz_atual[y,x]) <= 0.0000001):
                #Condição de Parada (Diferença entre dois pontos do estado atual e do anterior menor que
                0.00001%)
                parada = True
tempo_consumido = time.process_time() - inicio
print('Total de Frames: ' + (str)(quadros))
return animacao,quadros,tempo_consumido,matriz_atual

#Função que gera o vídeo da simulação e mostra a imagem do estado permanente
def gerar_midias(numero_nos):
    resultado = diferencas_finitas(numero_nos)
    animacao = resultado[0]

```

```

quadros = resultado[1]
figura, eixos = plt.subplots()
eixos.set(title = 'Distribuição de Temperatura - Caso 7 (Malha de ' + (str)(numero_nos**2) + '
    nós)', xlabel = 'Eixo X', ylabel = 'Eixo Y' )
imagem = eixos.imshow(animacao[quadros], cmap='hot', interpolation='nearest',
    extent=[0,tamanho,0,tamanho])
figura.colorbar(imagem)
video = animation.FuncAnimation(figura,animar,frames=quadros,fargs=(animacao,))
writemp4 = animation.FFMpegFileWriter(fps=30, bitrate=1800)
video.save('sim.mp4', writer=writemp4)
plt.show()

#Função que define o custo operacional, em s, para um série de valores de nós
def custo_operacional(valores_nos):
    tempos = []
    malhas = []

    for i in valores_nos:
        tempos.append(diferencas_finitas(i)[2])
    for j in valores_nos:
        malhas.append(j**2)

    plt.plot(malhas,tempos)
    plt.title('Custo Operacional por Número de Nós na Malha')
    plt.xlabel('Numeros de Nós')
    plt.ylabel('Tempo de Execução (s)')
    plt.savefig('CustoOperacional.png', bbox_inches = 'tight')

#Função que obtém os perfis de temperatura para X = 0.5,1.5 e 2.5 e Y = 1.5 e 2.5
def obter_perfis(numero_nos):
    y_observado = [math.floor(numero_nos/(tamanho/1.5)), math.floor(numero_nos/(tamanho/2.5))]
    #Valores de x definidos para análise
    x_observado = [(math.floor(numero_nos/(tamanho/0.5))),
        (math.floor(numero_nos/(tamanho/1.5))),math.floor(numero_nos/(tamanho/2.5))] #Valores de y
    #definidos para análise
    valores_y = (1.5,2.5)
    valores_x = (0.5,1.5,2.5)
    intervalo = np.linspace(0,tamanho, num = numero_nos)
    estado_permanente = diferencas_finitas(numero_nos)[3]

    for i in range(len(x_observado)):
        temperaturas = np.array(estado_permanente[:,x_observado[i]])
        plt.plot(intervalo,temperaturas)
        plt.title('Perfil de Temperatura para X = ' + (str)(valores_x[i]))
        plt.xlabel('Distância em Y (m)')
        plt.ylabel('Temperatura (K)')
        plt.savefig('PerfilTempX'+ (str)(valores_x[i]) + '.png', bbox_inches = 'tight')
    plt.close('all')

```

```

for i in range(len(y_observado)):
    temperaturas = np.array(estado_permanente[y_observado[i],:])
    plt.plot(intervalo, temperaturas)
    plt.title('Perfil de Temperatura para Y = ' + (str)(valores_y[i]))
    plt.xlabel('Distância em X (m)')
    plt.ylabel('Temperatura (K)')
    plt.savefig('PerfilTempY'+ (str)(valores_y[i]) + '.png', bbox_inches = 'tight')
    plt.close('all')

```

---

## 4.2 main.py

---

```

import tcm_trab as tcm
numero_nos = 200 #Número N de nos para criação de uma malha [N,N]

valores = (10,25,50,100,150,200) #Valores de nos utilizados para analise do custo operacional

tcm.custo_operacional(valores)
tcm.gerar_midias(numero_nos)
tcm.obter_perfis(numero_nos)

```

---